

Fortran マルチグレイン並列処理における データローカライゼーション手法

吉田 明正[†] 前田 誠司^{††}
尾形 航[†] 笠原 博徳[†]

本論文では、粗粒度並列処理（マクロデータフロー処理）・中粒度並列処理（ループ並列化）・近細粒度並列処理を階層的に組み合わせたマルチグレイン並列処理におけるデータローカライゼーション手法を提案する。本手法では、各粒度の並列性を最大限に利用し、さらに、各粒度で並列処理されるタスク間でのデータ授受を、集中共有メモリ経由ではなく、プロセッサ上のローカルメモリ経由で行うことにより、データ転送オーバヘッドの軽減をはかっている。本手法のコンパイル手順は、まず、ループ、サブルーチン等の粗粒度タスク間並列性を引き出し、かつ、多量のデータ転送を必要とする粗粒度タスク集合が実行時に同一のプロセッサクラスタ（PC）に割り当てられるように、粗粒度タスクの分割・融合を行う。次に、粗粒度タスク内部を中粒度タスクあるいは近細粒度タスクに分割し、それらのタスクをPC内プロセッサ（PE）に、PE間データ転送量が小さくなるように割り当てる。この後、粗粒度タスク（融合されたものを含む）に対して、PE上のローカルメモリを介したデータ授受コードを生成する。本手法はマルチプロセッサシステム OSCAR 上でインプリメンテーションされており、OSCAR シミュレータ上で行った性能評価の結果から処理時間が 21.5% 短縮されることが確認された。

A Data-Localization Scheme for Fortran Multi-Grain Parallel Processing

AKIMASA YOSHIDA,[†] SEIJI MAEDA,^{††} WATARU OGATA[†]
and HIRONORI KASAHARA[†]

This paper proposes a data-localization scheme for multi-grain parallel processing, which exploits parallelism effectively by macro-dataflow computation, loop concurrentization and near fine grain parallelization. In this scheme, data are transferred via local memory among tasks which are assigned to the same processor cluster and data transfer overhead due to centralized common memory accesses is reduced. This compilation scheme is composed of three phases. Firstly, coarse grain tasks like loops in a Fortran program are restructured considering coarse grain parallelism and data locality. Secondly, the compiler decomposes coarse grain tasks into medium grain tasks like loop iterations and near fine grain tasks like statements, and schedules them to processors inside the processor cluster considering data transfer. Thirdly, it generates data transfer code via local memory for coarse grain tasks which are composed of medium grain tasks and near fine grain tasks. The proposed scheme has been implemented on OSCAR and the performance evaluation on an OSCAR simulator is also discussed.

1. はじめに

従来、マルチプロセッサシステム上における Fortran 並列化コンパイラを用いた並列処理では、Doall, Doacross 等のループ並列化（中粒度並列処理）^{13),17)} のみが自動的に行われていたが、このような並列化手法では、複雑なループキャリイドディペンデンス*を持つ

ループ、あるいはループ以外の部分の並列性を利用すことができないという問題があった。この問題点を解決するために最近では、ループやサブルーチン等の粗粒度タスク間の並列性を利用する粗粒度並列処理（マクロデータフロー処理）^{6)~8)}、あるいはステートメント程度の近細粒度タスク間の並列性を利用する近細粒度並列処理⁹⁾、さらにそれらを従来の中粒度並列処理（ループ並列化）と階層的に組み合わせたマルチグレイン並列処理手法¹²⁾が提案されている。

* 早稲田大学理工学部

School of Science and Engineering, Waseda University
† (株) 東芝 研究開発センター

Research & Development Center, Toshiba Corporation

* イタレーション間にまたがるデータ依存。

このマルチグレイン並列処理では、粗粒度タスク（マクロタスク）をダイナミックスケジューリングによってプロセッサクラスタ（PC）に実行時に割り当てて複数PC上で粗粒度並列処理を行い、各PCに割り当てられたマクロタスクに対してはPC内部のプロセッサ（PE）上で階層的に中粒度並列処理あるいは近細粒度並列処理を行うというものである。このようにマクロタスクを処理すべきPCを実行時に決定する方式では、コンパイル時にデータを各PE上のローカルメモリ（LM）に効果的に分割・配置することが困難である。このため、従来のマルチグレイン並列処理では、粗粒度タスク間で共有されるデータを集中共有メモリ（CM）上に配置し、粗粒度タスク間のデータ授受を集中共有メモリを介して行わざるを得なかった。しかし、このような方式では、集中共有メモリを介したデータ転送オーバヘッドが大きくなってしまうという問題が生じる。このような問題点を解決するためには、データ分割・配置を適切に行い各プロセッサ上のローカルメモリを介したデータ授受を可能とする手法の開発が重要となる。

このようなローカルメモリへのデータの分割・配置に関する研究は現在活発に行われており、TuとPadua¹⁾, Li²⁾は、作業配列変数をローカルメモリにすることにより単一ループの処理の高速化を行うためのArray Privatization法を提案している。しかし、この方法は、Doallループの各イタレーション内部だけにローカルメモリを利用しておらず、マルチグレイン並列処理のような方式で同一PC（複数PEで構成）上で実行される複数ループ間でのローカルメモリ経由データ授受には利用することはできない。また、LiとChen³⁾, GuptaとBanerjee⁴⁾, AndersonとLam⁵⁾は、分散メモリマシン上での自動データ分割・配置法を提案している。しかし、これらの自動データ分割・配置法では、コンパイラがスタティックにデータ割り付けを行える場合にしか適用できず、中粒度並列性（ループのイタレーション間並列性）しか利用できないという制約がある。一方、ダイナミックスケジューリングを用いた粗粒度並列処理においては、複数の粗粒度タスク間での共有データをローカルメモリ経由で授受する方法¹⁰⁾が提案されている。しかし、この方法では、粗粒度並列処理のみが適用対象であり、粗粒度タスク内部が階層的に並列処理（中粒度並列処理または近細粒度並列処理）される場合は考慮されていない。

そこで、本論文では、粗粒度・中粒度・近細粒度並列処理を階層的に組み合わせたマルチグレイン並列処理において、粗粒度タスク（内部はPC内PE上で階層

的に中粒度・近細粒度並列処理される）間、および、シーケンシャルループのイタレーション（内部はPC内PE上で階層的に中粒度・近細粒度並列処理される）間で、PC内の各PE上のローカルメモリを介したデータ授受を行い、また、粗粒度タスク内部の近細粒度タスク間ではPE上のレジスタまたはローカルメモリを介したデータ授受を行うことにより、集中共有メモリアクセスを軽減するデータローカライゼーション手法を提案する。

本論文2章では、マルチグレイン並列処理について概説する。3章では、データローカライゼーションを行うためのタスクの再構成とスケジューリングについて述べる。4章では、データローカライゼーション用データ転送コードの生成方法について述べる。5章では、本手法をインプリメントしたコンパイラを用いて、マルチプロセッサシステムOSCAR¹⁴⁾のシミュレータ上で行った性能評価について述べる。

2. マルチグレイン並列処理

マルチグレイン並列化コンパイルーションは、粗粒度並列処理^{6)~8)}、中粒度並列処理、近細粒度並列処理⁹⁾の3つの技術から構成される。本章では、これらのコンパイルーション手法と、対象マルチプロセッサーアーキテクチャについて述べる。

2.1 対象マルチプロセッサーアーキテクチャ

マルチグレイン並列処理では、5.1節で述べるOSCAR¹⁴⁾のように、プロセッサ上にローカルメモリ（他PEからリード・ライト可能な分散共有メモリが望ましい）を持ち、各プロセッサがインターフェクションネットワークを介して集中共有メモリに接続されているマルチプロセッサシステムを対象とする。その際、インターフェクションネットワークに関しては、ソフトウェア的にプロセッサのクラスタリング（グループ化）を容易に実現できるバス結合やクロスバ結合が望ましい。

2.2 粗粒度並列処理（マクロデータフロー処理）

マクロデータフローコンパイルーション手法では、まず、Fortranプログラムを、擬似代入文ブロック（BPA）、繰り返しブロック（RB）、サブルーチンブロック（SB）の3種類の粗粒度タスク（マクロタスク（MT））に分割する⁷⁾。

BPAは本質的には基本ブロックであるが、並列性抽出のために单一の基本ブロックを複数に分割し複数のBPAを生成したり、逆に单一の基本ブロックの処理時間が1回のダイナミックスケジューリングに要する時間に比べ短い場合には、複数の基本ブロックを融合し

1つのBPAを生成する⁷⁾。RBは最外側ナチュラルループ¹⁹⁾である。また、コード長を考慮し効果的にインライン展開できないサブルーチンプロックはSBとして定義する。

ただし、上記のRBの定義では、Doallループが1つのRBとして1つのプロセッサクラスタ(PC)に割り当てられてしまうため、PC内のPE数分の並列性しか利用できない。この問題を解決するために、Doallループは、イタレーション範囲を分割することにより、複数の部分Doallループに分割する¹⁰⁾。また、データローカライゼーションを適用するマクロタスク集合は、実行時に同一PCに割り当てるために融合を行う^{7),10)}。

以上のようにマクロタスクを生成した後、コンパイラは、BPA、RB、SB等のマクロタスク間のコントロールフロー、データフローを解析し、それらを表したマクロフローグラフ(MFG)を生成する。さらに、コントロール依存とデータ依存を考慮したマクロタスク間並列性を最大限に引き出すために、各マクロタスクの最早実行可能条件⁶⁾を解析する。この各マクロタスクの最早実行可能条件は、マクロタスクグラフ(MTG)で表すことができる。

次に、コンパイラは、マクロタスク間の条件分岐等の実行時不確定性に対処するために、マクロタスクを実行時にプロセッサクラスタ(PC)に割り当てるダイナミックスケジューリングルーチンを生成する。

マクロデータフロー処理では、このようなダイナミックスケジューリングルーチンを用いて、マクロタスク(融合により生成された融合マクロタスクを含む)を、実行時にPCに割り当てる方式をとっているため、マクロタスク(融合マクロタスクを含む)間で共有されるデータあるいは初期データは、集中共有メモリに配置する。また、PCに割り当てられたマクロタスクは、さらにマクロタスク内部で、中粒度タスク、近細粒度タスク、または階層的にサブマクロタスクに分割され、PC内部のPE(あるいはサブPC)上で並列処理される。ここで、RBやSB内部でのマクロデータフロー処理を階層型マクロデータフロー処理¹¹⁾と呼ぶ。

2.3 中粒度並列処理(ループ並列化)

前述のように、PCに割り当てられたマクロタスクがDoall可能RBである場合、そのRBはPC内部のPEによって中粒度すなわちイタレーションレベルで並列処理される。DoallループのイタレーションのPEへのスケジューリングに関しては、セルフスケジューリング、チャンクスケジューリング、ガイドッドセルフスケジューリング等といったいくつかのダイナミックスケジューリング手法^{13),16)}が提案されている。しか

し、本手法ではデータのローカリティを高めるため、スタティックスケジューリングを用いて、ほぼ同数のイタレーションをPC内の各PEに割り当てる方式をとっている。

2.4 近細粒度並列処理

ループ並列化不可のRBのボディ部に存在する基本プロック、あるいは、ループ外部のBPAでは、PC内のPEを用いて近細粒度並列処理⁹⁾が行われる。

近細粒度並列処理を効率よく行うためには、並列性が十分得られ、なおかつデータ転送や同期によるオーバヘッドができるだけ小さくなるように、BPA(基本プロック)を近細粒度タスクに分割することが必要である。本手法では、性能評価に使用するOSCARの処理能力やデータ転送能力を考慮して、近細粒度タスクとしてステートメントレベルの粒度を用いている。

このような近細粒度タスク集合のPC内PEへの割り当てには、データ転送時間を考慮したヒューリスティックアルゴリズムであるCP/DT/MISF法^{13),15)}あるいはDT/CP法¹⁸⁾を採用している。

3. データローカライゼーションのためのタスクの再構成とスケジューリング

本章では、マルチグレイン並列処理におけるデータローカライゼーション手法を提案する。マルチグレイン並列処理において、各粒度のタスク間でローカルメモリを介してデータ転送を行うためには、タスクの再構成とスケジューリングの技術が重要となる。以下の節ではこれらの技術について述べる。

3.1 粗粒度タスクの再構成とPCへのスケジューリング

マルチグレイン並列処理においてデータローカライゼーションを効率的に行うためには、(1)粗粒度並列性が十分に得られ、かつ、多量のデータ転送を必要とするマクロタスク間で配列データの定義・参照範囲が等しくなるように、マクロタスクを生成し、(2)多量のデータ転送を必要とするマクロタスク集合を同一プロセッサクラスタ(PC)にダイナミックスケジューリングして実行することが必要となる。そこで、本手法では、RB整合分割法¹⁰⁾とマクロタスク融合法^{7),10)}を用いて、マクロタスクを再構成する。

3.1.1 RB整合分割

本手法では、図1(a)のようなデータ依存のある複数RB(ループ)をイタレーション範囲で分割する際に、分割された部分RB間(例えば、図1(c)のRB_{1a}とRB_{2a}の組、または、RB_{1c}とRB_{2b}の組)でローカルメモリ経由データ授受を可能とするため、RB整合

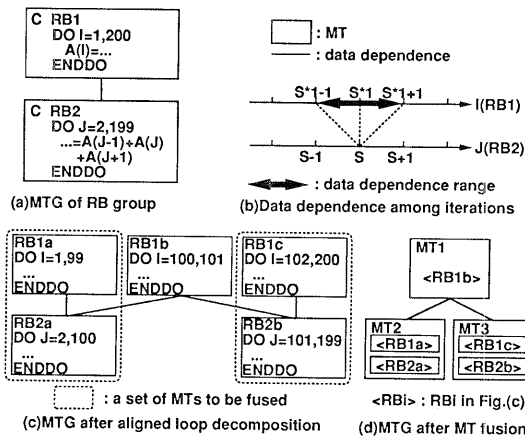


図1 RB 整合分割例

Fig. 1 An example of aligned loop decomposition.

分割¹⁰⁾を行う。

RB 整合分割法では、まず、RB 整合分割の対象とする RB グループを生成する。RB グループは、マクロタスクグラフ (MTG) 上で、お互いが唯一の直接後続マクロタスクおよび唯一の直接先行マクロタスクであるような配列変数に関するデータ依存が存在する Doall 可能 RB 集合 (例えば、図1(a)の RB_1 と RB_2) である。ただし、RB グループを生成する時に限り、RB で使用される変数の初期化等を行う小規模 BPA からのデータ依存エッジは無視する。これは、小規模 BPA の処理時間は小さいので、小規模 BPA と他のマクロタスクの間の並列性は利用しても効果的でないからである。

次に、各 RB グループ ($RB_i (1 \leq i \leq N_{RB})$ により構成されるものとする) 内において、ある RB のイタレーションと他の RB のイタレーションとの間のデータ依存 (インター RB イタレーション間データ依存と呼ぶ) を解析する。このインター RB イタレーション間データ依存の解析結果は、 $RB_{N_{RB}}$ の S 番目のイタレーションが、直接的あるいは間接的 (他 RB を経由して) にデータ依存している各 $RB_i (1 \leq i \leq N_{RB}-1)$ のイタレーション範囲 (上・下限値は S の 1 次式で表現) で表す。例えば、マクロタスクグラフ (MTG) 中に図1(a) の RB グループ (RB_1 と RB_2 で構成、 $N_{RB}=2$) が存在する場合、インター RB イタレーション間データ依存を解析すると、 RB_2 の $J=S$ のイタレーションが、 RB_1 の $I=S \times 1 - 1$ から $I=S \times 1 + 1$ の範囲のイタレーション集合にデータ依存していることがわかる。この結果を図示すると図1(b) のようになる。

この後、以下のように各 $RB_i (1 \leq i \leq N_{RB})$ を分割す

る。なお、ここでは、図1(a), (c) を用いて説明する。まず、図1(a) の $RB_2 (RB_{N_{RB}})$ を、図1(c) の RB_{2a}, RB_{2b} に分割する。ただし、分割数は通常 PC 数 (図1(c) では 2) あるいは PC 数の整数倍とする。次に、図1(a) の RB_1 (各 $RB_i (1 \leq i \leq N_{RB}-1)$) の分割では、インター RB イタレーション間データ依存解析結果 (図1(b)) を用いて、 RB_{2a} のイタレーション集合だけがデータ依存している RB_1 のイタレーション集合を求める、これらのイタレーション集合を RB_{1a} として生成する。同様に、 RB_{2b} だけがデータ依存している RB_1c を生成する。また、 RB_1 には、 RB_{2b} と RB_{2b} が共通にデータ依存しているイタレーション集合が存在するため、それらのイタレーション集合を新たに RB_{1b} として生成する。このような分割を行うことにより、多量のデータ転送を必要とする部分 RB 集合 (RB_{1a} と RB_{2a} の組、または、 RB_{1c} と RB_{2b} の組) は、3.1.2 項で述べるように、融合することが可能である。

上述の RB 整合分割の適用されなかった Doall 可能 RB は、イタレーション数の等しい m 個 (m は通常 PC 数あるいは PC 数の整数倍) の部分 RB に分割される。

3.1.2 マクロタスク融合

本手法では、多量のデータ転送を必要とするマクロタスク (RB 整合分割されたものを含む) 集合をダイナミックスケジューリング環境下で同一の PC に割り当てるごとを保証するため、これらのマクロタスク集合をコンパイル時に融合し、実行時には融合されたマクロタスク集合を、ダイナミックスケジューリングにより 1 PC に割り当てる方式をとる。

本マクロタスク融合では、まず、RB 整合分割の対象となった旧 RB グループ内で、多量のデータを必要とする部分 RB (分割された RB) 集合を融合する¹⁰⁾。例えば、RB 整合分割された図1(c) の場合、点線で囲まれた部分 RB 集合 (RB_{1a} と RB_{2a} の組、または、 RB_{1c} と RB_{2b} の組) は融合され、融合後のマクロタスクグラフ (MTG) は図1(d) のようになる。

次に、MTG 全体に対し、データ転送とダイナミックスケジューリングオーバヘッドを考慮したヒューリスティックマクロタスク融合法¹¹⁾ を適用する。

なお、融合により生成されたマクロタスク内部の PC 内 PE 上での処理については、3.2 節および 3.3 節で述べる。

3.2 中粒度タスクの PC 内 PE へのスケジューリング

マルチグレイン並列処理では、前述のように、プロセッサクラスタ (PC) に割り当てられたマクロタスク

(RB 整合分割・マクロタスク融合適用後のマクロタスク) 内部に、Doall ループが存在する場合、PC 内部の PE 上で中粒度並列処理（ループ並列化）が行われる。

Doall ループの中粒度タスク（イタレーション）は、イタレーション間の並列性を有効に利用するために、PC 内の各 PE に均等にスケジューリングされる。

なお、RB 整合分割後に融合された融合マクロタスクの場合、融合マクロタスク内のループ間では配列データの定義・参照範囲がほとんど等しい。このため、それらのループを中粒度並列処理する場合には、各ループごとにイタレーション集合を均等に PE にスケジューリングしても、大部分のデータが PE 上のローカルメモリを介して授受される。

3.3 近細粒度タスクの PC 内 PE へのスケジューリング

本節では、PC 内の PE を用いて近細粒度並列処理が行われる BPA（シーケンシャルループ内部の基本ブロックあるいはループ外の BPA）において、効率的にデータローカライゼーションを行うための近細粒度タスク融合法と近細粒度タスクのスケジューリングについて述べる。

近細粒度タスク間で、PE 上のレジスタまたはローカルメモリを介してデータ授受を行うには、データ転送の必要となる近細粒度タスク集合を同一の PE に割り当てなければならない。

そこで、本手法では、近細粒度タスクをヒューリスティック融合法¹⁵⁾により融合した後、データ転送を考慮したスタティックスケジューリング法によって、PE 間データ転送量が小さくなるように、近細粒度タスクを PE にスケジューリングする方式をとる。

なお、近細粒度タスクのスケジューリングアルゴリズムとしては、使用するマルチプロセッサシステムの各 PE 上での近細粒度タスクの処理時間と PE 間データ転送時間の割合に応じて、CP/DT/MISF 法^{13),15)}あるいは DT/CP 法¹⁸⁾を適用する。

4. データローカライゼーションのためのデータ転送コード生成

本章では、3 章で述べた粗粒度タスクの再構成および中粒度タスクと近細粒度タスクの PC 内 PE へのスケジューリングが行われたマクロタスク（融合マクロタスク）に対して、PC 内の各 PE 上のローカルメモリ（LM）経由でデータ授受を行う並列マシンコードを生成する。

具体的には、まず、融合マクロタスク内部で、各配列変数 i ごとに、データローカライゼーション適用時

のデータ転送時間 $t_{localize}^i$ と、集中共有メモリ（CM）経由データ授受を行う場合のデータ転送時間 t_{CM}^i を求める。なお、 $t_{localize}^i$ は、配列変数 i に関する、CM と LM 間のデータ転送時間、LM へのロード・ストア時間、分散共有メモリ（DSM）を用いた PC 内 PE 間の直接データ転送時間の合計である。 t_{CM}^i は、配列変数 i に関する CM へのロード・ストア時間である。

次に、 $t_{localize}^i$ と t_{CM}^i を比較し、 $t_{localize}^i < t_{CM}^i$ を満たす配列変数 i に対しては、データローカライゼーション用コード、すなわち、後述する各種データ転送コードと各 PE 上のローカルメモリへのロード・ストア命令を生成する。一方、 $t_{localize}^i > t_{CM}^i$ を満たさない配列変数 i に対しては、従来の CM 経由データ授受コードを生成する。

4.1 融合 MT 内で参照前に定義されないデータの CM から LM への転送

データローカライゼーションが適用される配列変数への定義・参照を行うステートメントは、そのステートメントを実行する PE 上のローカルメモリのデータをアクセスするようにコード生成される。このため、データローカライゼーションの適用される配列変数への参照が発生する前に、参照する範囲のデータはローカルメモリ上に置かれていないなければならない。そこで、融合マクロタスク内において、参照前に定義されない範囲のデータに対しては、融合マクロタスク実行開始時に集中共有メモリ（CM）から当該 PE 上のローカルメモリ（LM）に転送するコードを挿入する。

例えば、図 2(a) のような RB 整合分割・マクロタスク融合により生成された融合マクロタスク（図 1(d) の MT₂ と同じ）の場合、融合マクロタスク内部の各 Doall ループのイタレーション集合は、図 2(b) に示すように PC 内の各 PE (図中の PC は 2 PE 構成) に

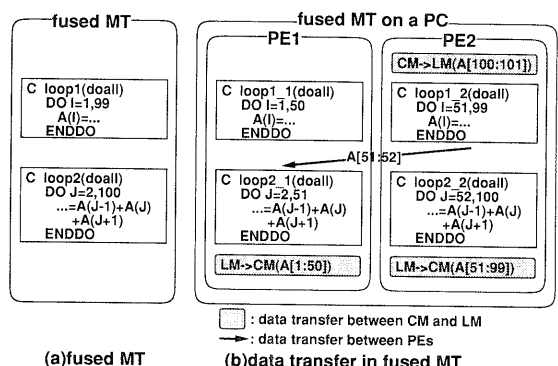


図 2 複数ループ面でのデータ転送の例
Fig. 2 An example of data transfer between loops.

均等に割り当てられる。

ここで、配列変数 A にデータローカライゼーションが適用される場合、図 2 (b) の PE 1 では、ループ 2_1 で参照されるデータ A[1:52] (A(1) から A(52) の配列要素を意味する) のうち、A[1:50] はループ 1_1 から LM を介して授受され、A[51:52] は 4.2 節で述べるように PE 2 のループ 1_2 で定義後に PE 1 の LM に転送される。このため、集中共有メモリ (CM) から PE 1 の LM にデータ転送する必要はない。

一方、図 2 (b) の PE 2 では、ループ 2_2 で参照されるデータ A[51:101] のうち、A[51:99] はループ 1_2 から LM を介して授受され、それ以外のデータ A[100:101] はループ 1_1、ループ 1_2 のいずれでも定義されていない。そこで、図 2 (b) の PE 2 の上部の網掛け長方形内に示すように、CM 上のデータ A[100:101] (他のマクロタスクにより定義されたデータ) を PE 2 の LM に転送するコードを挿入する。

4.2 複数ループ間での PE 間データ転送

同一 PC に割り当てられる融合マクロタスク内の各ループは、PC 内部の PE 上で中粒度あるいは近細粒度タスクレベルで並列処理されるため、ループ間では必ずしも同一 PE 上のローカルメモリを介してデータ授受を行えるとは限らない。そこで、そのような場合には、ループ間に PE 間データ転送命令を挿入する。

例えば、前述の図 2 (a) は RB 整合分割・マクロタスク融合により生成された融合マクロタスクなので、図 2 (b) のように PC 内の各 PE において、割り当てられた各 Doall ループのイタレーション集合によって定義または参照される配列データ範囲はほぼ等しい。しかし、PE 2 上のループ 1_2 で定義されるデータの一部 (A[51:52]) は、PE 2 上のループ 2_2 だけでなく PE 1 上のループ 2_1 においても参照されるため、図 2 (b) 中の矢印で示されるように PE 間データ転送を行う命令を挿入する。

4.3 シーケンシャルループのイタレーション間での PE 間データ転送

本手法では、融合されたマクロタスク間だけに限らず、図 3(a) のような複数のループをボディとして持つシーケンシャルループに対しても、データローカライゼーションを適用する。この場合、内部ループ 1 が Doall ループであるとすると、ループ 1 の各イタレーションは、図 3 (b) に示すように、PC 内の各 PE (図中の PC は 2 PE 構成) に均等に割り当てられて中粒度並列処理が行われる。一方、内部ループ 2 はシーケンシャルループであるため、図 3 (b) に示すように、ループ 2 のボディ部 (基本ブロック) の 'A(J)=A(J-1)

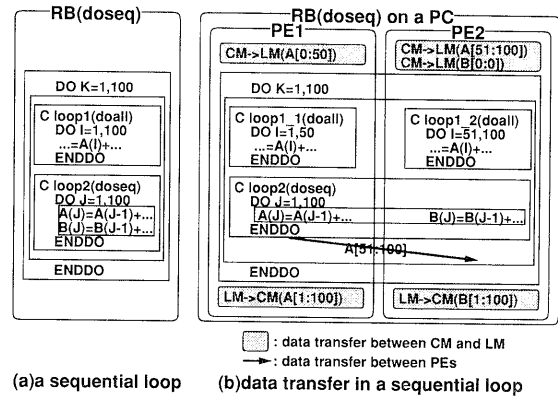


図 3 シーケンシャルループのイタレーション間でのデータ転送の例

Fig. 3 An example of data transfer between iterations in a sequential loop.

+...’のステートメントが PE 1 に,’B(J)=B(J-1)+...’のステートメントが PE 2 に割り当てられて近細粒度並列処理が行われる。

ここで、配列変数 A, B にデータローカライゼーションが適用される場合、外側ループのあるイタレーション中のループ 2 で PE 1 上のローカルメモリ (LM) に定義されたデータ A[1:100] が、その後続イタレーション中のループ 1_1 (PE 1 上) およびループ 1_2 (PE 2 上) で参照される。この場合、PE 1 上のループ 1_1 で参照されるデータ A[1:50] に関しては、PE 1 上の LM を介して授受される。一方、PE 2 上のループ 1_2 で参照されるデータ A[51:100] に関しては、図 3 (b) 中の矢印で示すような PE 1 から PE 2 へのデータ転送が必要となり、コンパイラはこの転送のための命令を挿入する。

4.4 融合 MT の後続 MT で参照されるデータの LM から CM への転送

データローカライゼーションの適用により、融合マクロタスク内で PC 内 PE 上のローカルメモリにストアされた定義データ (例えば、図 2 (b) において、PE 1 上の A[1:50], PE 2 上の A[51:99]) が、融合マクロタスク外部の後続マクロタスクで参照される場合には、PE 上のローカルメモリ (LM) のデータを集中共有メモリ (CM) に転送するコードを挿入する。例えば、図 2 (b) の融合マクロタスクの場合、図 2 (b) の PC 内各 PE の下部の網掛け長方形内に示されるように、PE 上の LM から CM へのデータ転送コードを挿入する。

本手法では、このように、融合マクロタスク内で LM 上に定義された有効なデータを、融合マクロタスク実

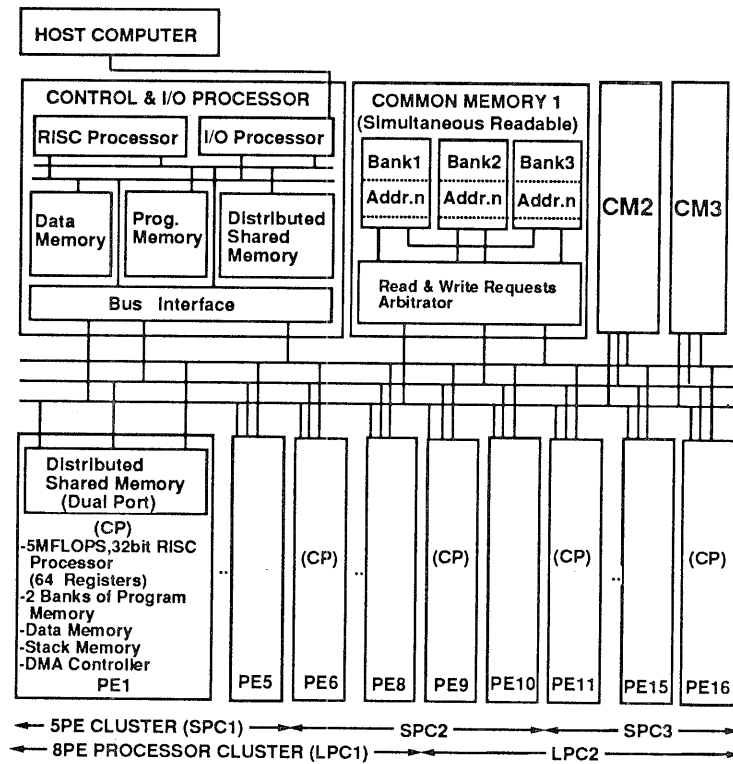


図4 OSCARのアーキテクチャ

Fig. 4 OSCAR's architecture.

行終了時に CM 上に書き戻しているため、融合マクロタスク外部の後続マクロタスクは、どの PC に割り当てられても、CM 上の有効なデータを参照することができる。

5. OSCAR 上での性能評価

本章では、提案するマルチグレイン並列処理におけるデータローカライゼーション手法を、OSCAR¹⁴⁾ シミュレータ上で性能評価した結果について述べる。

5.1 OSCAR のアーキテクチャ

性能評価に用いる OSCAR¹⁴⁾ (図4) は、ローカルメモリ (LM) を持つ 32 ビット RISC プロセッサ (PE) を、集中共有メモリ (CM) に 3 本のバスで接続した共有メモリ型マルチプロセッサシステムである。ローカルメモリ (LM) は、ローカルプログラムメモリ (LPM)、ローカルデータメモリ (LDM)、他 PE からリード・ライト可能な分散共有メモリ (DSM) の領域からなる。なお、OSCAR では、PE 上の LDM および DSM へのロードやストアに 1 クロックを要し、CM および他 PE の DSM へのロードやストアには 4 クロックを要する。

また、OSCAR は各 PE を集中共有メモリ (CM) に平等結合したアーキテクチャとなっているが、複数の PE をソフトウェア的にクラスタリング (グループ化) することにより、3 プロセッサクラスタ (PC) までのマルチプロセッサクラスタシステムとして利用することができる。その際、各プロセッサクラスタ (PC) では、PC 内部の PE あるいは PC 内で定義されるサブ PC を用いて、各マクロタスクを中粒度レベル、近細粒度レベル、または粗粒度レベル (サブマクロタスクレベル) で階層的に並列処理することができる。ただし、PC のクラスタリングはソフトウェアで行われているため、各 PC は PC 内の集中共有メモリを持っていない。

5.2 CGS 法プログラムにおける性能評価

本節では、非対称係数行列を持つ連立 1 次方程式の求解用 CGS 法プログラムの主収束ループを用いて提案手法の性能評価を行う。このループは、図5 のマクロタスクグラフ (MTG) に示すように、15 個のマクロタスクで構成されている。

このプログラムを OSCAR シミュレータ上で 1 PE を用いて実行するとその処理時間は 107.2[ms] であ

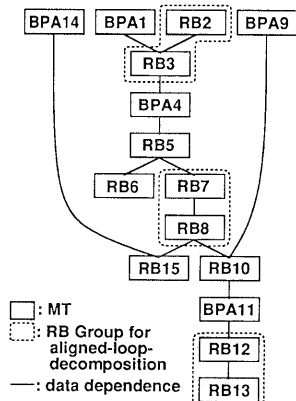


図5 CGS法プログラムのMTG

Fig. 5 MTG of a program for CGS method.

った。次に、2 PC (各 PC は 1 PE で構成、計 2 PE) 上で、CM 経由データ転送を用いたマクロデータフロー処理を行うと処理時間は 54.4[ms] に短縮された。また、2 PC (各 PC は 3 PE で構成、計 6 PE) 上で、CM 経由データ転送のマルチグレイン並列処理を用いると、マクロデータフロー処理の粗粒度並列性に加えて、中粒度並列性と近細粒度並列性が引き出され、処理時間は 22.3[ms] に短縮された。

さらに、提案するデータローカライゼーション手法を伴うマルチグレイン並列処理では、図 5 の MTG 中の点線で囲まれた各 RB グループに対して RB 整合分割とマクロタスク融合が行われ、2 PC (各 PC は 3 PE で構成、計 6 PE) 上での処理時間は 17.5[ms] に短縮された。この場合、CM 経由データ転送のマルチグレイン並列処理に比べて 21.5% 処理時間が短縮されている。これにより、提案するデータローカライゼーション手法は、CM アクセスに伴うデータ転送オーバヘッドを顕著に軽減することが確かめられた。

6. おわりに

本論文では、マルチグレイン並列処理において、各粒度の並列性を最大限に利用しつつ、粗粒度タスク (内部は階層的に並列処理される) 間、および、シーケンシャルループのイタレーション (内部は階層的に並列処理される) 間では、プロセッサクラスタ (PC) 内の各 PE 上のローカルメモリを介してデータ授受を行い、また、粗粒度タスク内部の近細粒度タスク間では PE 上のレジスタまたはローカルメモリを介してデータ授受を行うことにより、データ転送オーバヘッドを軽減するデータローカライゼーション手法を提案した。

また、OSCAR シミュレータ上での性能評価の結果より、提案手法は従来の集中共有メモリのみを介してデータ授受を行うマルチグレイン並列処理に比べ、処理時間を顕著に短縮できることが確かめられた。

今後の課題としては、他のループとの間のデータローカライゼーション効果を高めるための、シーケンシャルループ内部の近細粒度タスクスケジューリング手法の開発、および、データ転送オーバヘッドのさらなる軽減を目指したデータローカライゼーションとデータプレローディング・ポストストアリング技術との統合等があげられる。

謝辞 本研究の一部は、文部省科学研究費 (特別研究員奨励費 053760, 一般研究 (b) 05452354, 一般研究 (c) 05680284) による。

参考文献

- 1) Tu, P. and Padua, D.: Automatic Array Privatization, *6th Annual Workshop on Languages and Compilers for Parallel Computing* (1993).
- 2) Li, Z.: Array Privatization for Parallel Execution of Loops, *Proc. of the 1992 ACM Int'l Conf. on Supercomputing*, pp. 313-322 (1992).
- 3) Li, J. and Chen, M.: Compiling Communication-Efficient Programs for Massively Parallel Machines, *IEEE Trans. on Parallel and Distributed System*, Vol. 2, No. 3, pp. 361-376 (1991).
- 4) Gupta, M. and Banerjee, P.: Demonstration of Automatic Data Partitioning Techniques for Parallelizing Compilers on Multicomputers, *IEEE Trans. Parallel and Distributed System*, Vol. 3, No. 2, pp. 179-193 (1992).
- 5) Anderson, J. M. and Lam, M. S.: Global Optimizations for Parallelism and Locality on Scalable Parallel Machines, *Proc. of the SIGPLAN '93 Conf. Programming Language Design and Implementation*, pp. 112-125 (1993).
- 6) 本多, 岩田, 笠原: Fortran プログラム粗粒度タスク間の並列性検出手法, 信学論 (D-I), Vol. J 73-D-I, No. 12, pp. 951-960 (1990).
- 7) 笠原, 合田, 吉田, 岡本, 本多: Fortran マクロデータフロー処理のマクロタスク生成手法, 信学論 (D-I), Vol. J 75-D-I, No. 8, pp. 511-525 (1992).
- 8) 本多, 合田, 岡本, 笠原: Fortran プログラム粗粒度タスクの OSCAR における並列実行方式, 信学論 (D-I), Vol. J 75-D-I, No. 8, pp. 526-535 (1992).
- 9) 本多, 水野, 笠原, 成田: OSCAR 上での Fortran プログラム基本ブロックの並列処理手法, 信学論 (D-I), Vol. J 73-D-I, No. 9, pp. 756-766 (1990).
- 10) 吉田, 前田, 尾形, 笠原: Fortran マクロデータフロー処理におけるデータローカライゼーション手

- 法, 情報処理学会論文誌, Vol. 35, No. 9, pp. 1848-1860(1994).
- 11) 岡本, 合田, 宮沢, 本多, 笠原: OSCAR マルチグレインコンパイラにおける階層型マクロデータフロー処理手法, 情報処理学会論文誌, Vol. 35, No. 4, pp. 513-521(1994).
- 12) Kasahara, H., Honda, H., Mogi, A., Ogura, A., Fujiwara, K. and Narita, S.: Multi-Grain Parallelizing Compilation Scheme for OSCAR, *4th Workshop on Language and Compilers for Parallel Computing* (1991).
- 13) 笠原: 並列処理技術, コロナ社 (1991).
- 14) 笠原, 成田, 橋本: OSCAR のアーキテクチャ, 信学論 (D), Vol. J 71-D, No. 8, pp. 1440-1445 (1988).
- 15) Kasahara, H., Honda, H. and Narita, S.: Parallel Processing of Near Fine Grain Tasks Using Static Scheduling on OSCAR, *IEEE ACM Supercomputing'90*, pp. 856-864(1990).
- 16) Polychronopoulos, C. D.: *Parallel Programming and Compilers*, Kluwer Academic Pub. (1988).
- 17) Padua, D. A. and Wolfe, M. J.: Advanced Compiler Optimizations for Super Computers, *C. ACM*, Vol. 29, No. 12, pp. 1184-1201(1986).
- 18) 藤原, 白鳥, 鈴木, 笠原: データプレロードおよびポストストアを考慮したマルチプロセッサスケジューリング, 信学論 (D-I), Vol. J 75-D-I, No. 8, pp. 495-503(1992).
- 19) Aho, A. V., Sethi, R. and Ullman, J. D.: *Compilers (Principles, Techniques, and Tools)*, Addison Wesley (1988).

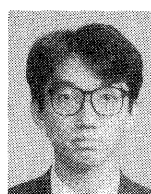
(平成 6 年 9 月 16 日受付)

(平成 7 年 5 月 12 日採録)



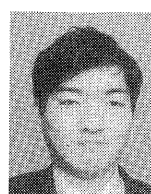
吉田 明正 (正会員)

1968 年生, 1991 年早稲田大学理工学部電気工学科卒業. 1993 年同大大学院修士課程修了. 現在, 同大学院博士後期課程在学中. 1993 年～1995 年日本学術振興会特別研究員. 1995 年より早稲田大学理工学部電気工学科助手. 並列化コンパイラ, 並列処理方式, マルチプロセッサアーキテクチャ等の研究に従事. 電子情報通信学会会員.



前田 誠司 (正会員)

1969 年生, 1992 年早稲田大学理工学部電気工学科卒業. 1994 年同大大学院修士課程修了. 同年 (株) 東芝入社. 在学中, 並列化コンパイラの研究に従事. 現在, 同社研究開発センターに所属.



尾形 航 (正会員)

1967 年生, 1991 年早稲田大学理工学部電気工学科卒業. 1993 年同大大学院修士課程修了. 現在, 同大学院博士後期課程在学中. 並列実行方式, 近細粒度並列処理手法, 計算機アーキテクチャの研究に従事.



笠原 博徳 (正会員)

1957 年生, 1980 年早稲田大学理工学部電気工学科卒業. 1985 年同大大学院博士課程修了. 工学博士. 1983 年～1985 年早稲田大学電気工学科助手. 1985 年カリフォルニア大バーカー短期客員研究員, 日本学術振興会特別研究員. 1986 年早稲田大学電気工学科専任講師, 1988 年同助教授, 現在に至る. 1989 年～1990 年イリノイ大 Center for Supercomputing R&D 客員研究員. 1987 年 IFAC World Congress 第 1 回 Young Author Prize 受賞. 主な著書「並列処理技術」(コロナ社). マルチプロセッサスケジューリング, スーパーコンピューティング, 並列化コンパイラ等の研究に従事. 電子情報通信学会, 電気学会, シミュレーション学会, ロボット学会, IEEE, ACM 等の会員.